

# 稀土 Y 掺杂 $Ti/SnO_2+MnO_x/PbO_2$ 电极的电化学性能研究

褚秋霞<sup>1</sup>, 梁镇海<sup>2</sup>, 孙颜发<sup>2</sup>, 王荣鹏<sup>2</sup>, 樊彩梅<sup>2</sup>

(1. 山西旅游职业学院, 山西 太原 030031)

(2. 太原理工大学, 山西 太原 030024)

**摘要:** 采用热分解和电沉积的方法制备了稀土元素 Y 掺杂  $Ti/SnO_2+MnO_x/PbO_2$  耐酸阳极。用 XRD、SEM 表征了电极的物相和表面形貌, 用 CV、EIS 测定了电极的电化学性能, 并研究了 Y 掺杂对电极在强酸性溶液中使用寿命的影响。结果表明: Y 以  $Y_2O_3$  的形式与  $SnO_2$  形成半导体固溶体, 使电极在高电流密度( $4\text{ A}/\text{cm}^2$ )下的预期使用寿命达到 70 h; 同时该电极的析氧电位高达 2.1 V, 且电极表面呈蘑菇状, 电催化性较好,  $Ti/SnO_2+Y_2O_3+MnO_x/PbO_2$  电极是一种较理想的耐酸阳极材料。

**关键词:** 稀土 Y;  $Ti/SnO_2+MnO_x/PbO_2$  电极; 耐酸阳极

中图法分类号: TG 146.4

文献标识码: A

文章编号: 1002-185X(2009)05-0821-05

钛基二氧化铅电极( $Ti/PbO_2$ )由于具有较高的析氧电位、良好的耐腐蚀性能和较低的价格等优点, 已广泛应用于电镀、冶炼、废水处理、阴极防腐等领域<sup>[1]</sup>。但人们逐渐发现在强酸性溶液中, 由析氧反应产生的活性氧可与 Ti 基体生成不导电的  $TiO_2$ , 使电极失去活性, 电极涂层的脱落或溶解, 大大缩短了电极的使用寿命。为了克服上述缺点, 可以将一些离子或氧化物( $F^-$ 、 $Fe^{3+}$ 、 $Bi^{5+}$ 、 $TiO_2$ )<sup>[2,3]</sup>直接掺杂到  $PbO_2$  活性层中或在基体和活性层间添加结构稳定的中间层( $SnO_2+Sr_2O_3$ )<sup>[4]</sup>。选择耐腐蚀、结构稳定的涂层材料, 已成为国内外研究的热点<sup>[5~7]</sup>。有的学者将氟树脂掺杂到  $\beta-PbO_2$  层中<sup>[8]</sup>, 可以明显增加电极的寿命; 还有将纳米级的  $TiO_2$  掺杂到  $\beta-PbO_2$  层中<sup>[9]</sup>, 使镀层的脆性大大降低, 在  $H_2SO_4$  溶液中镀层不会从基材剥落; 因稀土元素特殊的 4f 电子结构<sup>[10]</sup>, 有的学者将稀土氧化物  $Er_2O_3$ 、 $Gd_2O_3$ 、 $La_2O_3$ 、 $CeO_2$  掺杂到  $PbO_2$  层中<sup>[11]</sup>, 可明显改善电极的性能。为了有效阻止由于活性氧的扩散而对涂层的破坏, 本工作添加和  $PbO_2$  结构相似的金属氧化物  $SnO_2+MnO_x$  作为中间层, 并将稀土元素 Y 掺杂其中, 重点考察掺杂对电极寿命的影响, 为耐酸性阳极材料的选择提供理论和实验依据。

## 1 实验

将尺寸为  $70\text{ mm}\times10\text{ mm}\times2\text{ mm}$  的钛片用 120#金

相砂纸打磨后, 于  $100\text{ }^\circ\text{C}$ , 浓度为 20% 左右的草酸中处理 3 h, 使表面呈均匀麻面, 将处理好的钛片放在 1% 的草酸溶液中保存、待用。

将  $SnCl_4\cdot5H_2O$ 、 $Mn(NO_3)_2$  和  $YCl_3\cdot6H_2O$  按一定的比例混合后配成盐酸-正丁醇溶液, 涂于钛基表面, 于  $100\text{ }^\circ\text{C}$  左右烘干,  $500\text{ }^\circ\text{C}$  左右热分解, 这样反复涂刷 15 次, 最后一次热分解 1 h。

配制镀液 100 mL, 其中含 13.2 g  $Pb(NO_3)_2$ , 0.5 g  $HNO_3$ , 0.13 g  $NaF$  和少量的  $Cu(NO_3)_2\cdot3H_2O$ , 电镀过程中, 加入  $PbCO_3$  以保持镀液  $pH=1\sim2$ , 在  $1.0\text{ A}/\text{cm}^2$  的电流密度下进行阳极电沉积 2 h, 得到所需的电极。

用 AMRAY-1000B 型扫描电子显微镜, 在  $25\text{ kV}$  加速电压下观察电极表面形貌; 用 Rigaku D/max-2500 型 X 射线衍射仪确定电极涂、镀层的物相, X 射线源为 Cu 靶  $K\alpha$  射线。

采用高电流密度下加速寿命的实验方法来考察电极的预期使用寿命。研究电极为阳极, 铜电极为阴极,  $4\text{ A}/\text{cm}^2$ 、 $60\text{ }^\circ\text{C}$  的条件下,  $1.0\text{ mol/L}$  的硫酸溶液中, 电解初期槽电压维持在 3~8 V, 一段时间后槽电压急剧上升到 10 V 以上, 电流急剧减小, 表明电极已失效。槽电压上升前电极所经历的时间为其预期使用寿命<sup>[12]</sup>。

采用三电极体系, 制备电极为研究电极, 辅助电极为 Pt 电极, 参比电极为饱和甘汞电极, 用 VMP3 型恒电位仪和 EC-Lab 软件测量制备电极在  $25\text{ }^\circ\text{C}$ ,  $0.5$

收稿日期: 2008-06-17

基金项目: 国家自然科学基金(20771080); 山西省自然科学基金(20031024)

作者简介: 褚秋霞, 女, 1952 年生, 副教授, 山西旅游职业学院, 山西 太原 030031; 通讯作者: 梁镇海, 博士, 教授, 电话: 0351-6018193,  
E-mail: liangzhenhai@tyut.edu.cn

mol/L 硫酸溶液中的循环伏安曲线和交流阻抗图谱。

## 2 结果和讨论

### 2.1 电极的表征

#### 2.1.1 XRD 表征物相

图1为 $\text{Ti}/\text{SnO}_2+\text{Y}_2\text{O}_3+\text{MnO}_x/\text{PbO}_2$ 电极中间层的XRD图谱。可见，检测到的物相有金红石相的 $\text{SnO}_2(26.6^\circ, 34.1^\circ, 38.0^\circ, 52.0^\circ)$ 、 $\text{MnO}_2(28.9^\circ, 38.0^\circ, 59.9^\circ)$ 、 $\text{Mn}_3\text{O}_4(32.3^\circ, 36.1^\circ, 59.9^\circ)$ ，C型稀土化合物结构的 $\text{Y}_2\text{O}_3(29.6^\circ, 34.1^\circ, 48.6^\circ)$ 。 $\text{Ti}/\text{SnO}_2+\text{Y}_2\text{O}_3+\text{MnO}_x/\text{PbO}_2$ 电极 $\text{PbO}_2$ 活性层的XRD图谱如图2所示。由图可以看出，活性层物相主要为 $\beta\text{-PbO}_2$ ，而 $\beta\text{-PbO}_2$ 有好的导电性和耐蚀性<sup>[13]</sup>。

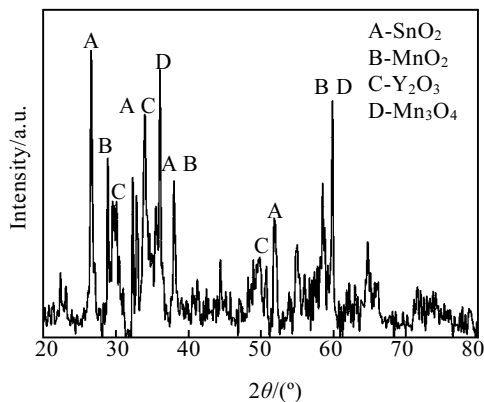


图1  $\text{SnO}_2+\text{Y}_2\text{O}_3+\text{MnO}_x$  中间层的 XRD 图谱

Fig.1 XRD pattern of  $\text{SnO}_2+\text{Y}_2\text{O}_3+\text{MnO}_x$  intermediate layer

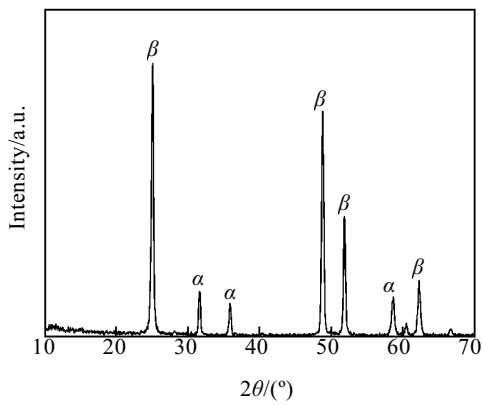


图2  $\text{PbO}_2$  活性层的 XRD 图谱

Fig.2 XRD pattern of  $\text{PbO}_2$  active layer

#### 2.1.2 SEM表征形貌

电极中间层表面的致密程度对有效阻止氧的扩散，防止绝缘二氧化钛的形成，延长电极寿命起着重要作用；而活性层表面形貌主要对电催化性能有影响，

表面积大的涂层有利于提高电极的催化活性和放电容量<sup>[2]</sup>。 $\text{Ti}/\text{SnO}_2+\text{Y}_2\text{O}_3+\text{MnO}_x/\text{PbO}_2$ 电极中间层形貌如图3所示。由图3可以看出，中间层表面致密，没有裂纹，虽有一些坑洼结构，但彼此间没有连在一起，且数量较少，致密的表面可有效地阻止新生态氧的扩散，延长电极的使用寿命。活性层表面形貌如图4所示。可见，表面形貌成蘑菇状，表面积较大，有利于增加电极表面的催化活性点，提高电极的催化活性。

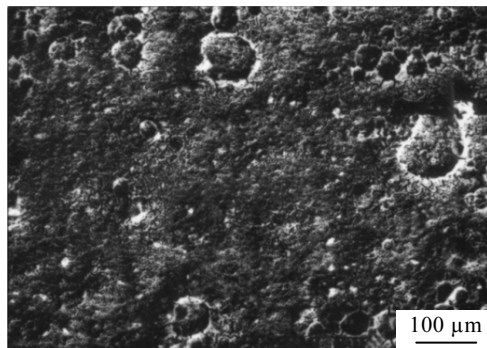


图3  $\text{SnO}_2+\text{Y}_2\text{O}_3+\text{MnO}_x$  中间层表面 SEM 形貌

Fig.3 SEM morphology of  $\text{SnO}_2+\text{Y}_2\text{O}_3+\text{MnO}_x$  intermediate layer

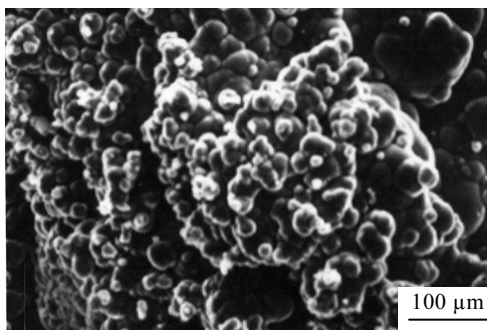


图4  $\text{PbO}_2$  活性层表面 SEM 形貌

Fig.4 SEM morphology of  $\text{PbO}_2$  active layer

### 2.2 电极寿命

几种钛基 $\text{PbO}_2$ 电极在60 °C、高电流密度(4 A/cm<sup>2</sup>)和1mol/L H<sub>2</sub>SO<sub>4</sub>溶液中的预期使用寿命如表1所示。可见， $\text{Ti}/\text{PbO}_2$ 电极在4 h后就失去活性，寿命较短，由于晶体非平衡生长使晶粒边界能量增加，晶粒偏离平衡态的方向使镀层产生了内部应力(拉应力和压应力)，应力使涂层与基体结合力变弱，使用过程中涂层很容易成片脱落到电解液中<sup>[9]</sup>；再加上新生态氧原子扩散到Ti基体上形成 $\text{TiO}_2$ 绝缘层，生成畸变的n型混合晶，导致电阻增大，使电极很容易失活。由表1可以看出，加入中间层的电极，

预期使用寿命明显增加,  $\text{Ti}/\text{SnO}_2+\text{Y}_2\text{O}_3+\text{MnO}_x/\text{PbO}_2$  电极的寿命可达到 70 h, 如此长的寿命主要由中间层的结构和导电性 2 个因素决定的。

表 1 几种钛基氧化物电极在 60 ℃, 高电流密度 4 A/cm<sup>2</sup> 和

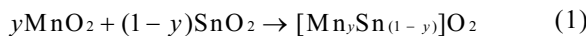
1 mol/L H<sub>2</sub>SO<sub>4</sub> 溶液中的寿命

Table 1 The service life of some Ti-supported oxide electrodes at 60 ℃, high electric current density 4 A/cm<sup>2</sup> and 1 mol/L H<sub>2</sub>SO<sub>4</sub>

Electrodes	Service life/h
Ti/PbO <sub>2</sub>	4
Ti/SnO <sub>2</sub> /PbO <sub>2</sub>	10
Ti/SnO <sub>2</sub> +Sb <sub>2</sub> O <sub>3</sub> /PbO <sub>2</sub>	16
Ti/SnO <sub>2</sub> +Sb <sub>2</sub> O <sub>3</sub> +MnO <sub>x</sub> /PbO <sub>2</sub>	45
Ti/SnO <sub>2</sub> +Y <sub>2</sub> O <sub>3</sub> +MnO <sub>x</sub> /PbO <sub>2</sub>	70

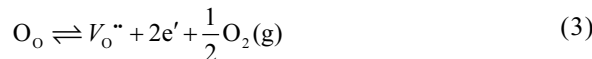
中间层结构的稳定性直接影响电极的寿命。在  $\text{MO}_2$  的金红石结构中,  $M^{4+}$  处于配位数为 6 的八面体中, 而  $\text{O}^{2-}$  周围有 3 个近似正三角形配位的  $M^{4+}$ , 由八面体  $[\text{MO}_6]$  那样共点连接而成,  $\text{SnO}_2$  与  $\text{MnO}_x$  同属金红石结构, 结构相似易形成固溶体; 因稀土元素特殊的 4f 电子结构, 使得稀土原子极易因极化发生形变, 从而以填隙或置换的方式进入金属氧化物晶格内部, 在半导体材料内形成缺陷, 如空位、空穴等, 这些缺陷对电极材料性质的影响很大<sup>[10,11]</sup>, 从氧化物配位数为 6 的结晶离子半径和半径比规则看(如表 2 所示),  $\text{SnO}_2$  与  $\text{Y}_2\text{O}_3$  的  $R^+/R^-$  在 0.414~0.732 之间, 即形成正离子配位数为 6 的八面体形, 结构相似易形成固溶体, 而结构稳定的固溶体可增加电极的耐蚀性, 延长电极寿命<sup>[14]</sup>。

中间层的导电性间接影响电极的寿命。导电性好的氧化物可降低涂层间的电阻, 消除涂层间的内应力, 增加电极的寿命<sup>[15]</sup>。根据 Hume-Rothery 经验规则: 当  $\Delta r=r_1-r_2/r_1 < 15\%$  时, 溶质(杂质原子或离子)和溶剂(基质晶体)之间可以形成连续固溶体, 当  $\Delta r=15\% \sim 30\%$  时, 溶质和溶剂之间只能形成有限型固溶体, 当  $\Delta r>30\%$  时, 溶质和溶剂之间很难形成固溶体或不能形成固溶体, 而易形成中间相化合物。 $\text{Sn}^{4+}$ 、 $\text{Mn}^{4+}$ 、 $\text{Y}^{3+}$  的离子半径分别为 71、54、88 pm,  $\text{Mn}^{4+}$ 、 $\text{Y}^{3+}$  与  $\text{Sn}^{4+}$  的  $\Delta r$  分别为 24% 和 19%, 因此  $\text{MnO}_2$ 、 $\text{Y}_2\text{O}_3$  与  $\text{SnO}_2$  可能形成有限型固溶体,  $\text{MnO}_2$ 、 $\text{Y}_2\text{O}_3$  以置换的方式进入  $\text{SnO}_2$  晶格内部, 固溶方程式为:



氧空位( $\text{V}_o''$ )的产生, 必然增加  $\text{SnO}_2$  中氧的扩散, 从而增加  $\text{SnO}_2$  的导电性;  $\text{Y}_2\text{O}_3$  属 C 型稀土化合物结构

(立方晶系, 配位数为 6), 这种结构有时会歪曲成单斜晶系, 结构中的稀土离子向沿链方向接近, 具有半导体的性质; 实际上金红石型的  $\text{SnO}_2$  通常是非化学计量化合物( $\text{MO}_{2-y}$ ), 由于氧离子不足, 在晶体中存在氧空位:



由于氧空位的迁移, 在禁带内形成  $E_d=-0.15$  eV 的施主能级, 向导带提供  $10^{15} \sim 10^{18} \text{ cm}^{-3}$  浓度的电子, 使  $\text{SnO}_2$  具有 n 型半导体性质, 从而使导电性增加<sup>[16]</sup>。

表 2 正离子配位数为 6 的氧化物离子半径

Table 2 Ion radii of oxide for 6-coordination positive ion

Ion	$\text{Mn}^{4+}$	$\text{Ti}^{4+}$	$\text{Sb}^{3+}$	$\text{Sn}^{4+}$	$\text{Y}^{3+}$
$R^+/\text{nm}$	0.054	0.068	0.090	0.071	0.088
$R^+/R^-(\text{O}^{2-}=0.14 \text{ nm})$	0.39	0.48	0.64	0.51	0.63

## 2.3 电化学性能

### 2.3.1 循环伏安分析

$\text{Ti}/\text{SnO}_2+\text{Y}_2\text{O}_3+\text{MnO}_x/\text{PbO}_2$  电极在硫酸介质中的循环伏安曲线如图 5 所示。可见, 在 5 mV/s 的扫描速率下, 电极在 1.9 V 左右有 1 个氧化峰, 对应了  $\text{PbSO}_4+2\text{H}_2\text{O}-2\text{e}^-=\text{PbO}_2+4\text{H}^++\text{SO}_4^{2-}$  的过程, 而在 0.8 V 左右的还原峰对应了  $2\text{PbSO}_4+6\text{H}^++\text{SO}_4^{2-}+4\text{e}^-=\text{PbSO}_4\cdot\text{PbO}+3\text{HO}$  的过程, 在 20 mV/s 的扫描速率下没有观察到氧化峰, 这可能是由于扫描速率较快, 峰型不明显。 $\text{Ti}/\text{SnO}_2+\text{Y}_2\text{O}_3+\text{MnO}_x/\text{PbO}_2$  电极在 2.1 V 左右开始析氧, 析氧电位较高, 可作为较理想的耐酸阳极材料。

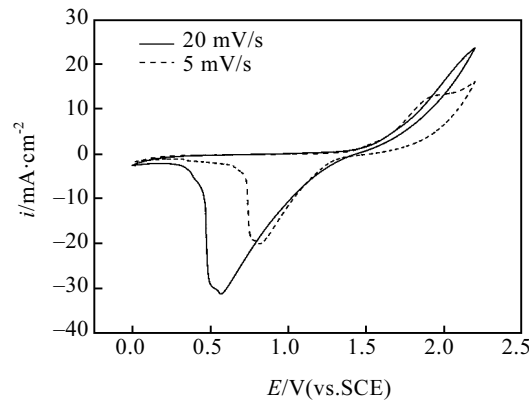


图 5 不同扫描速率下  $\text{Ti}/\text{SnO}_2+\text{Y}_2\text{O}_3+\text{MnO}_x/\text{PbO}_2$  电极的循环伏安曲线

Fig 5 Cyclic voltammograms of the  $\text{Ti}/\text{SnO}_2+\text{Y}_2\text{O}_3+\text{MnO}_x/\text{PbO}_2$  electrode at different scanning speed

### 2.3.2 交流阻抗分析

阻抗测定的测量电位为1.9 V(S.C.E)析氧电位, 扫描频率为100 kHz~10 mHz, 信号幅度为 $\pm 10$  mV, 所得数据采用Zsimpwin软件进行模拟分析。阳极的等效电路可用 $LR_s$  ( $Q_{dl}R_{ct}$ ) ( $Q_fR_f$ )表示, 其电路图如图6所示。等效电路中的 $L$ 表示电感, 主要和阳极表面复杂的微观结构有关,  $R_s$ 为溶液的电阻, ( $Q_fR_f$ )主要反映金属氧化物涂层内表面和钛基体之间的物理阻抗, ( $Q_{dl}R_{ct}$ )对应电极和溶液界面的电化学反应阻抗, 即双电层的阻抗<sup>[18]</sup>。

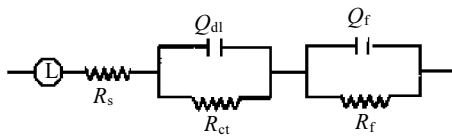


图6  $Ti/SnO_2+Y_2O_3+MnO_x/PbO_2$  电极的等效电路图

Fig.6 Equivalent circuit diagram of the  $Ti/SnO_2+Y_2O_3+MnO_x/PbO_2$  electrode

图7是在进行强化寿命实验的不同时间后, 阳极在0.5 mol/L  $H_2SO_4$ 溶液中1.9 V析氧电位下的交流阻抗谱图。当电极强化电解70 h后, 阻抗谱图上出现了2个半圆弧, 前1个代表高频段(100 kHz)的半圆弧, 后1个代表低频段(10 mHz)的半圆弧, 高频段的半圆弧是随着电解时间的增加而逐渐变得清晰, 表明电极已经失活<sup>[19]</sup>。

用Zsimpwin软件对阻抗谱图进行拟合, 得出模拟电路的各参数值, 其值表3所示。可见 $R_{ct}$ 和 $R_f$ 随着电解时间的加长, 都逐渐的增大,  $R_{ct}$ 增大是由于随着电解的进行,  $PbO_2$ 活性层在 $H_2SO_4$ 溶液中逐渐溶解或从电极上脱落, 裸露出的中间层电催化活性较差所致;  $R_f$ 增大则是因活性氧扩散到Ti基体上, 生成了不导电的 $TiO_2$ 。 $Q$ 是常相位角元件CPE, 主要是用来描述容电的参数发生偏离时的物理量, 随着电解的进行, 电极的活性逐渐下降,  $Q_{dl}$ 和 $Q_f$ 也逐渐减小。

表3  $Ti/SnO_2+Y_2O_3+MnO_x/PbO_2$  电极阻抗谱的拟合值

Table 3 Impedance parameter fitting date to the equivalent circuits diagram of the  $Ti/SnO_2+Y_2O_3+MnO_x/PbO_2$  electrode

Anodization time/h	$R_s/\Omega\cdot cm^2$	$R_{ct}/\Omega\cdot cm^2$	$Q_{dl}/mF\cdot cm^{-2}$	$R_f/\Omega\cdot cm^2$	$Q_f/mF\cdot cm^{-2}$
0	0.43	0.078	0.42	0.66	0.038
30	0.33	3.80	0.20	8.68	0.026
70	0.38	22.8	0.038	31.41	0.00019

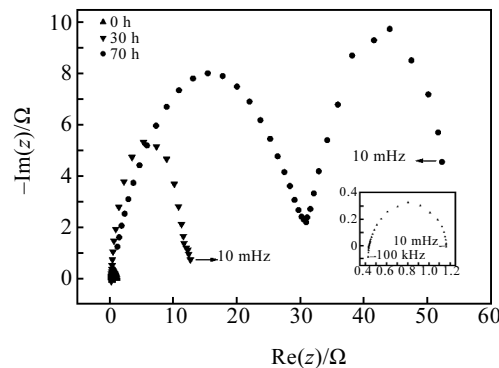


图7 强化电解不同时间  $Ti/SnO_2+Y_2O_3+MnO_x/PbO_2$  电极的Nyquist图

Fig.7 Nyquist plots of the  $Ti/SnO_2+Y_2O_3+MnO_x/PbO_2$  electrode at different electrolysis time

## 3 结 论

稀土元素Y掺杂制备了  $Ti/SnO_2+Y_2O_3+MnO_x/PbO_2$  电极, Y以  $Y_2O_3$  的形式与  $SnO_2$  形成了半导体固溶体中间层, 使电极在  $4 A/cm^2$  的高电流密度下的预期使用寿命达到了 70 h; 且电极表面呈蘑菇状, 活性表面积较大, 催化性较好; 同时该电极的析氧电位高达 2.1 V, 失活后, 涂层间的电阻  $R_f$  和涂层与溶液间的电阻  $R_{ct}$  都急剧升高;  $Ti/SnO_2+Y_2O_3+MnO_x/PbO_2$  电极是一种较理想的耐酸阳极材料。

## 参考文献 References

- [1] Zhang Zhaoxian(张招贤). *Titanium Electrode Engineering*(钛电极工学)[M]. Beijing: Metallurgical Industry Press, 2003: 200
- [2] Yusairie Mohd, Derek Pletcher. *Electrochimica Acta*[J], 2006, 52: 786
- [3] Velichenko A B, Amadelli R et al. *Electrochimica Acta*[J], 2000, 45: 4341
- [4] Wang Yaqiong(王雅琼), Wang Peng(王鹏) et al. *Rare Metal Materials and Engineering*(稀有金属材料与工程)[J], 2007, 36(3): 424
- [5] Montilla F, Morallo'n E, Battisti De A et al. *J Phys Chem B*[J], 2004, 108: 5036
- [6] Lee Jaeyoung, Varela Hamilton et al. *Electrochemistry Communications* [J], 2000(2): 646
- [7] Shen Peikang, Wei Xiaolan. *Electrochimica Acta*[J], 2003, 48: 1743
- [8] Zhou Minghua, Dai Qizhou et al. *Environ Sci Technol*[J], 2005,

- 39(1): 363
- [9] Cai Tianxiao(蔡天晓), Ju He(鞠鹤) et al. *Rare Metal Materials and Engineering*(稀有金属材料与工程)[J], 2003, 32(7): 558
- [10] Fan Hongfu(范洪富), Wang Lei(王磊) et al. *Journal of the Chinese Society Rare Earths*(中国稀土学报)[J], 2007, 25(3): 299
- [11] Kong Jiangtao, Shi Shaoyuan et al. *Electrochimica Acta*[J], 2007, 53: 2048
- [12] Liang Zhenhai(梁镇海), Zhang Fuyuan(张福元), Sun Yanpingtian(孙彦平). *Rare Metal Materials and Engineering*(稀有金属材料与工程)[J], 2006, 35(10): 1605
- [13] Zhou Donglan, Gao Lijun. *Electrochimica Acta*[J], 2007, 53: 2060
- [14] Montilla F, Morallo'n E et al. *J Phys Chem B*[J], 2004, 108: 5044
- [15] Chen Xueming, Chen Guohua. *Electrochimica Acta*[J], 2005, 50: 4155
- [16] Correa-Lozano B, Comninellis Ch, Battisti De A. *Journal of Applied Electrochemistry*[J], 1997, 27: 970
- [17] Wang Yaqiong(王雅琼), Tong Hongyang(童宏扬), Xu Wenlin(许文林). *Journal of Inorganic Material*(无机材料学报)[J], 2003, 18(5): 1033
- [18] Huang Yuntao(黄运涛), Peng Qiao(彭乔). *Rare Metal Materials and Engineering*(稀有金属材料与工程) [J], 2006, 35(10): 1610
- [19] Leonardo Da Silva M, Karla Fernandes C et al. *Electrochimica Acta*[J], 2004, 49: 4893

## Study of Electrochemical Properties of $Ti/SnO_2+MnO_x/PbO_2$ Electrode Doped with Rare Earth Y

Chu Qiuxia<sup>1</sup>, Liang Zhenhai<sup>2</sup>, Sun Yanfa<sup>2</sup>, Wang Rongpeng<sup>2</sup>, Fan Caimei<sup>2</sup>

(1. Shanxi Institute of Tour Profession, Taiyuan 030031, China)

(2. Taiyuan University of Technology, Taiyuan 030024, China)

**Abstract:** Acid-proof  $Ti/SnO_2+MnO_x/PbO_2$  anode doped with rare earth Y was prepared by thermal decomposition method and electrodeposited method. The surface characterization of the electrode was characterized by scanning electron microscopy(SEM) and the element composition of layers was analyzed with X-ray Diffraction(XRD). The electrode electrochemical properties were analyzed with Cyclic Voltammogram (CV) and Electrochemical Impedance Spectroscopic (EIS).The influence of Y doping on the service life of the electrode in strong acid solution was emphatically studied. The results indicated that the semiconductive solid solution was formed between  $Y_2O_3$  and  $SnO_2$ , which maked the service life of electrode reaching 70 h in high electric density( $4 A/cm^2$ ); At the same time the oxygen evolution reaction(OER) potential of this electrode reached 2.1 V . The rougher of the surface was, the better its electric catalytic properties were.  $Ti/SnO_2+Y_2O_3+MnO_x/PbO_2$  electrode is an ideal acid-proof anode material.

**Key words:** rare earth Y;  $Ti/SnO_2+MnO_x/PbO_2$  electrode; acid-proof anode

Biography: Chu Qiuxia, Associate Professor, Shanxi Institute of Tour Profession, Taiyuan 030031, P. R. China; Corresponding Author:

Liang Zhenhai, Ph.D., Professor, Tel: 0086-351-6018193, E-mail: Liangzhenhai@tyut.edu.cn